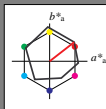


Eingabe: Farbmetrisches Offset-Reflektiv-System ORS18

für Buntton $h^* = lab^*h = 38/360 = 0.105$ lab^*ch und lab^*nch

D50: Buntton O

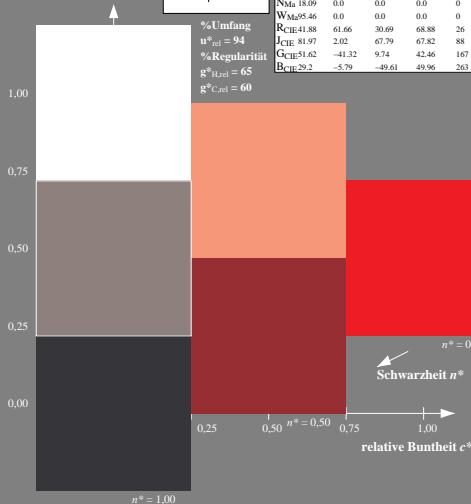
LCH*Ma: 48 82 38

ol v^* Ma: 1.0 0.0 0.0Dreiecks-Helligkeit t^* 

%Umfang
 $u^*_{rel} = 94$
%Regulartät
 $g^*_{H,rel} = 65$
 $g^*_{C,rel} = 60$

ORS18; adaptierte CIELAB-Daten

	$L^* = L^*_a$	a^*_a	b^*_a	$C^*_{ab,a}$	$h^*_{ab,a}$
OMa	47.94	65.05	50.54	82.38	38
YMa	91.0	-4.72	90.58	90.7	93
LMa	50.9	-63.18	34.98	72.22	151
CMa	56.99	-39.34	-48.1	62.16	231
VMa	25.72	30.89	-44.4	54.09	305
MMa	49.99	75.76	-4.64	75.9	356
NMa	18.09	0.0	0.0	0.0	0
WMa	95.46	0.0	0.0	0.0	0
RCIE41.88	61.66	30.69	68.88	26	
JCIIE	81.97	2.02	67.79	67.82	88
GCIE51.62	-41.32	9.74	42.46	167	
BCIE29.2	-5.79	-49.61	49.96	263	

QG800-1, 3stufige Reihen für konstanten CIELAB Buntton $38/360 = 0.105$ (links)

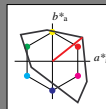
BAM-Prüfvorlage QG80; Farbmetrik-Systeme ORS18 & TLS00 input: $cmy0^*$ setcmykcolor
D50: 3 und 5stufige Farbreihen für 10 Bunttöne

Ausgabe: Farbmetrisches Fernseh-Licht-System TLS00

für Buntton $h^* = lab^*h = 38/360 = 0.107$ lab^*ch und lab^*nch

D50: Buntton O

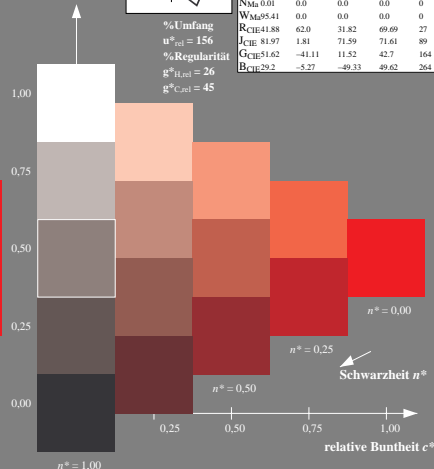
LCH*Ma: 54 101 38

ol v^* Ma: 1.0 0.0 0.0Dreiecks-Helligkeit t^* 

%Umfang
 $u^*_{rel} = 156$
%Regulartät
 $g^*_{H,rel} = 26$
 $g^*_{C,rel} = 45$

TLS00; adaptierte CIELAB-Daten

	$L^* = L^*_a$	a^*_a	b^*_a	$C^*_{ab,a}$	$h^*_{ab,a}$
OMa	54.19	79.36	63.0	101.33	38
YMa	93.44	-14.18	82.59	83.8	100
LMa	82.82	-83.73	70.41	109.41	140
CMa	85.22	-55.9	-15.78	58.1	196
VMa	25.61	67.05	-108.87	127.87	302
MMa	58.76	91.18	-53.69	105.82	330
NMa	0.01	0.0	0.0	0.0	0
WMa	95.41	0.0	0.0	0.0	0
RCIE41.88	62.0	31.82	69.69	27	
JCIIE	81.97	1.81	71.59	71.61	89
GCIE51.62	-41.11	11.52	42.7	164	
BCIE29.2	-5.27	-49.33	49.62	264	

5stufige Reihen für konstanten CIELAB Buntton $38/360 = 0.107$ (rechts)

BAM-Prüfvorlage QG80; Farbmetrik-Systeme ORS18 & TLS00 input: $cmy0^*$ setcmykcolor
D50: 3 und 5stufige Farbreihen für 10 Bunttöne
output: no change compared to input